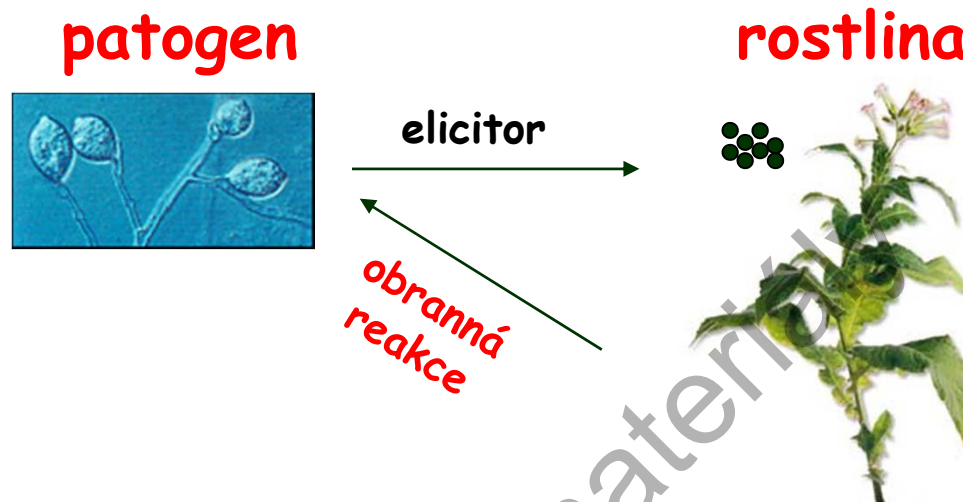


Interakce rostlin s patogeny

Studijní materiály

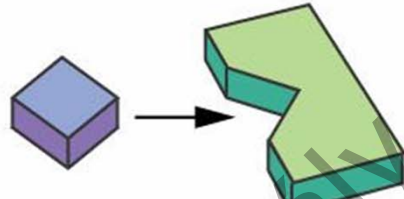
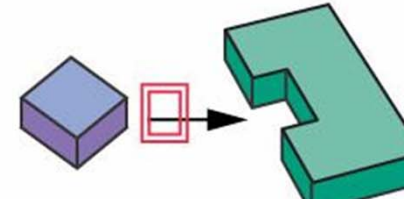
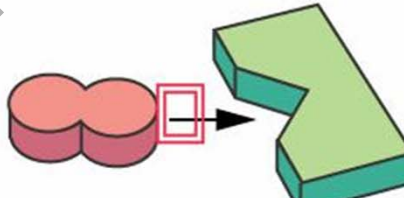
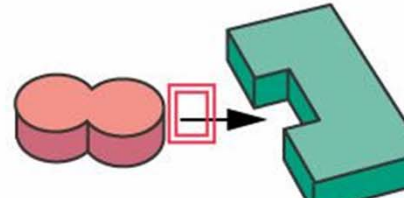
Obranná reakce



Elicitory - látky schopné vyvolat obrannou reakci u rostlin

- uvolňovány patogenem do okolí
- z chemického hlediska se jedná o celé spektrum látek
- glycoproteiny, chitinové fragmenty, proteiny, nízomolekulárni látky, atd.

Model gen vs.gen
gen avirulence avr
parazita a gen
resistence rostliny R.
Jednotlivé
varianty,
kompatibilní
a nekompatibilní
interakce

Pathogen genotype	Host plant genotype	
	R1	r1
<i>Avr1</i>	 <p>Avr1 R1 protein No disease (Plant and pathogen are incompatible.)</p>	 <p>Avr1 r1 protein Disease (Plant and pathogen are compatible.)</p>
<i>avr1</i>	 <p>avr1 R1 protein Disease (Plant and pathogen are compatible.)</p>	 <p>avr1 r1 protein Disease (Plant and pathogen are compatible.)</p>

Bílkovinný elicitor



Produkt genu avirulence cryptogeinu, syntetizovaný houbou
Phytophthora cryptogea startující nehostitelskou obrannou reakci u tabáku nesoucí gen resistance

Protein engineering

F- Phe
I- Ile
M- Met
W- Trp
L- Leu
R- Arg

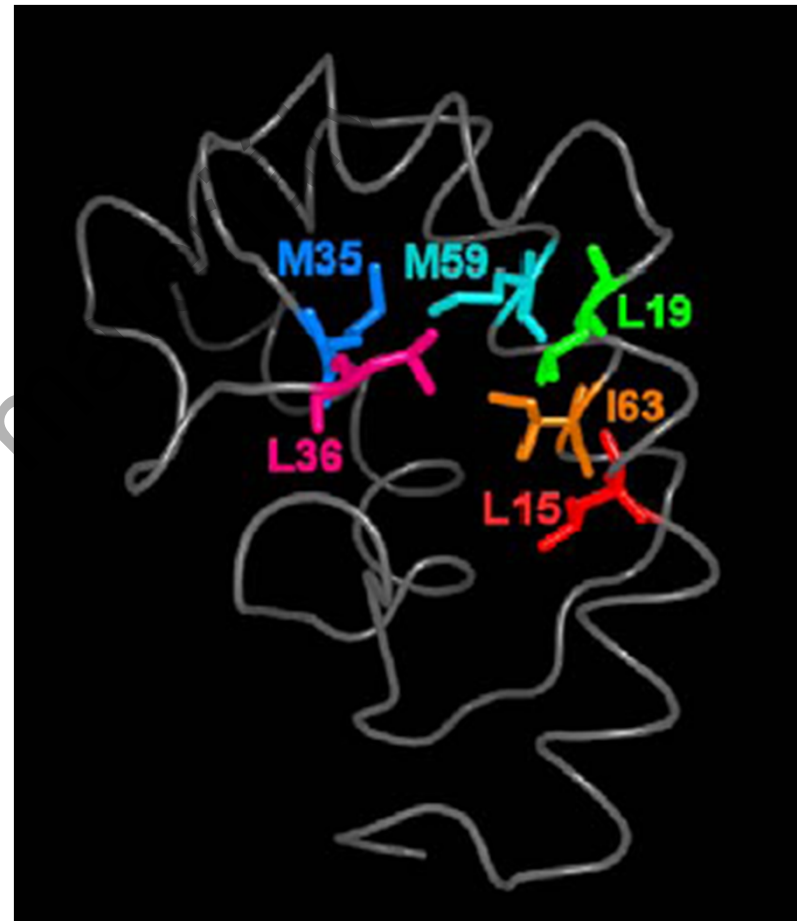
M35F/M59W

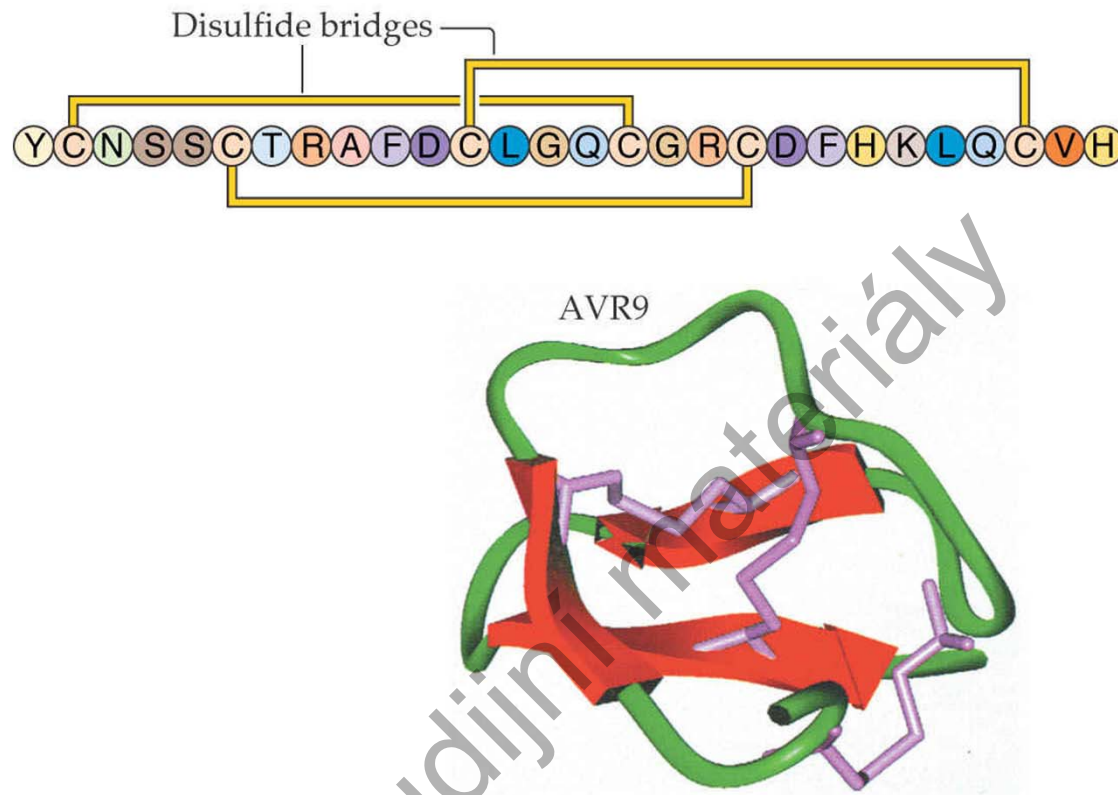
M35W/M59W/I63F

M35W/M59W

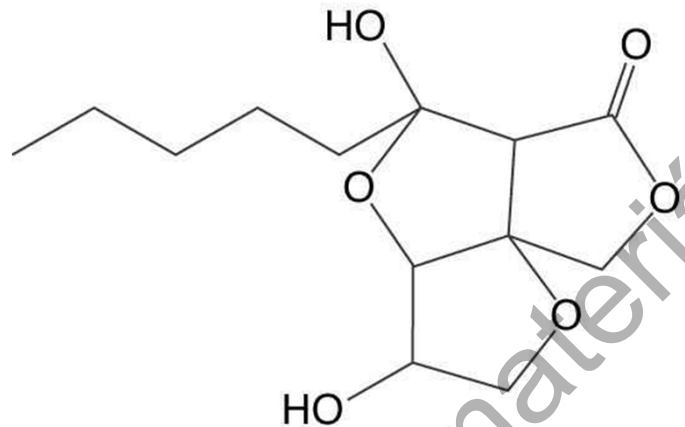
L19R

L15W/L36F

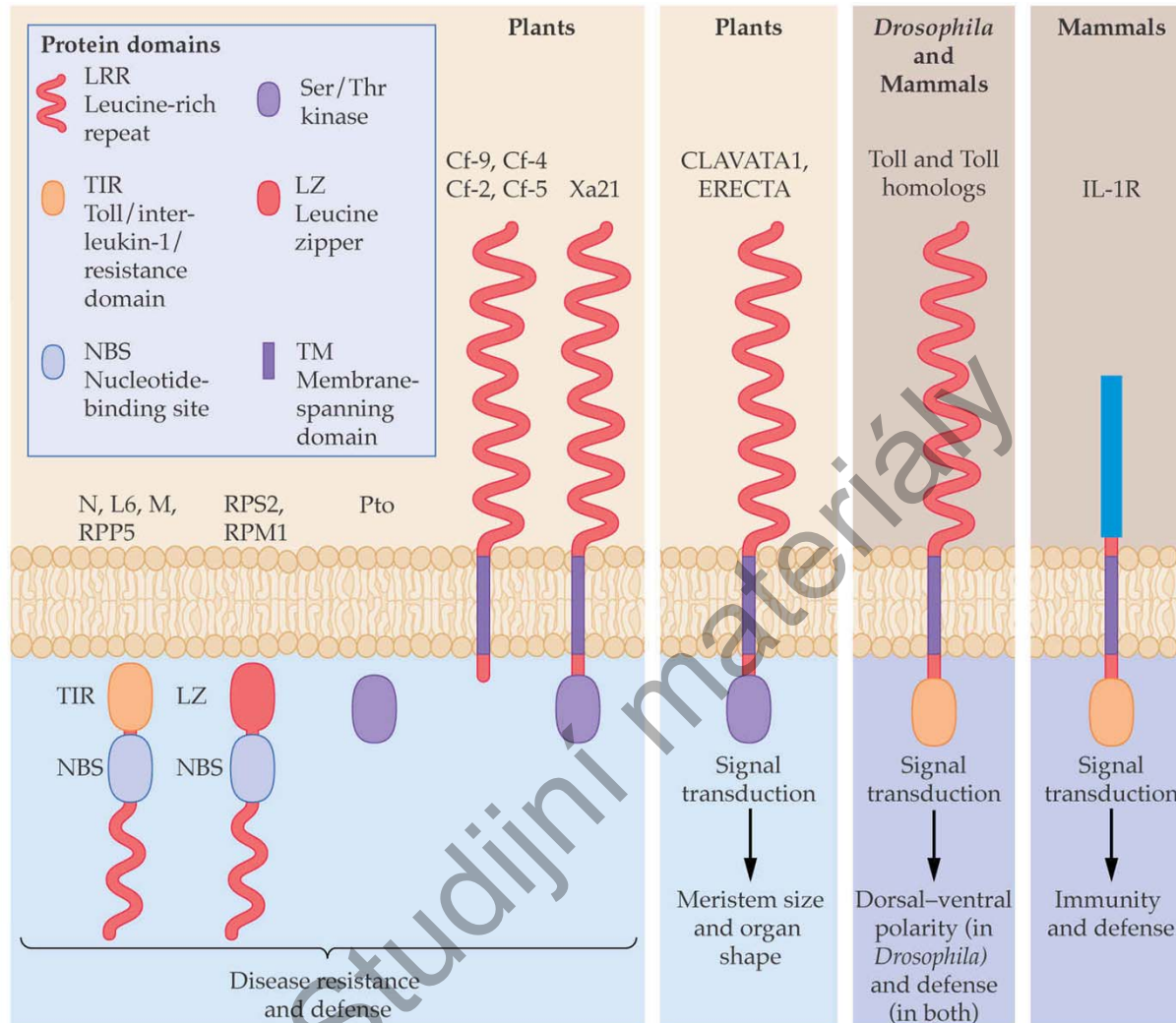




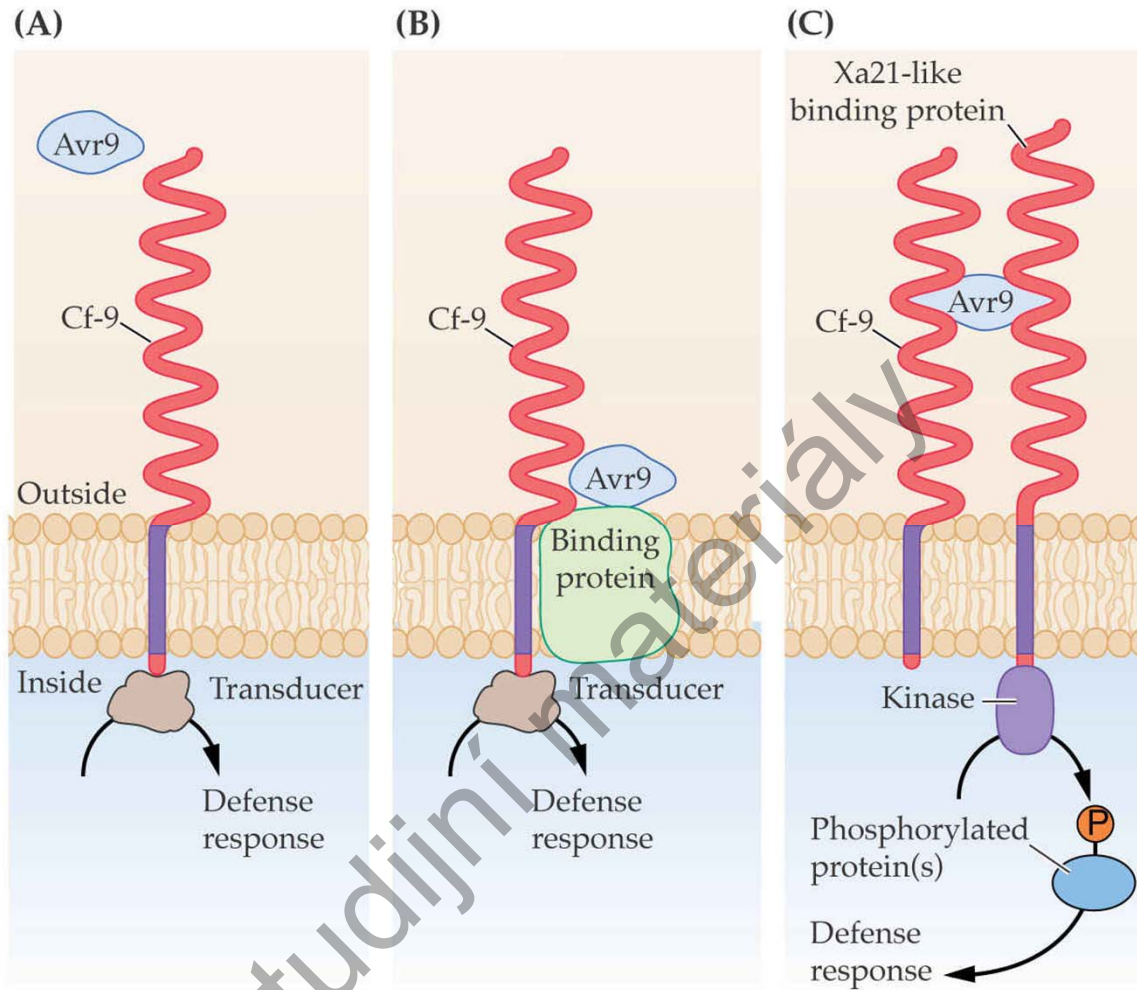
Struktura bílkoviny avirulence *Cladosporium fulvum* Avr9.



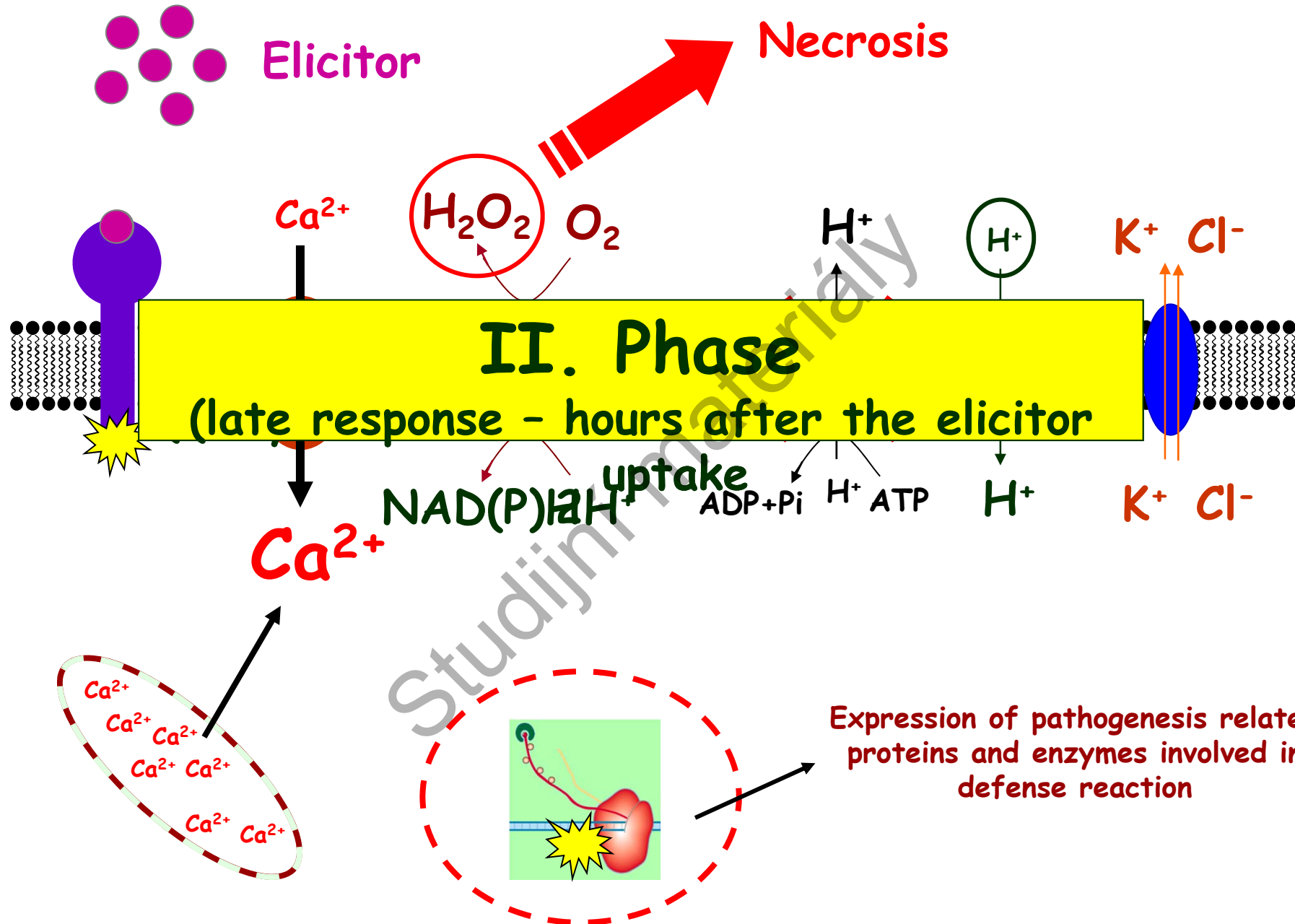
Syringolid, produkt genu avirulence avrD bakterie *Pseudomonas syringae* startuje obrannou reakci u soji nesoucí gen resistance Rpg4.

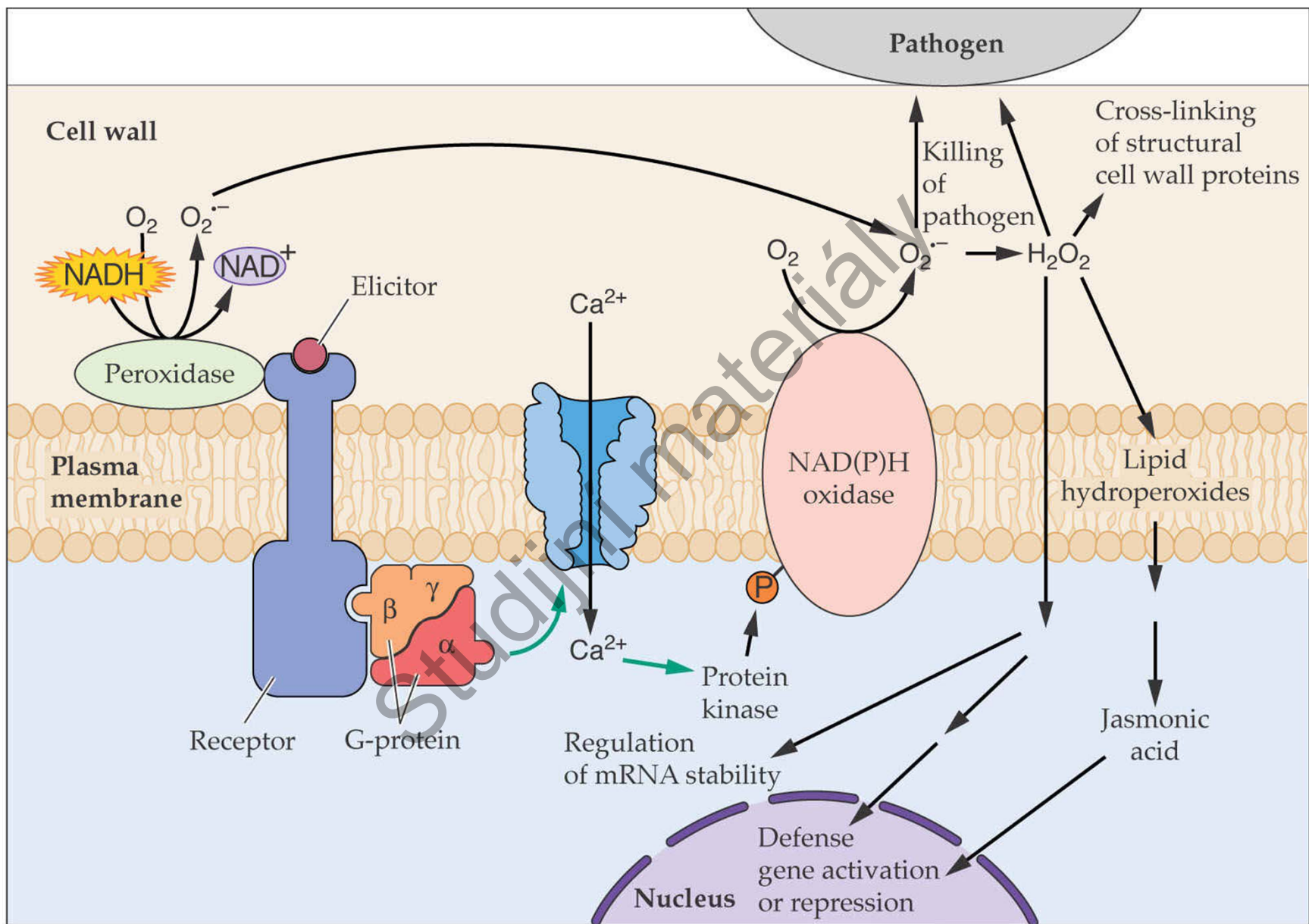


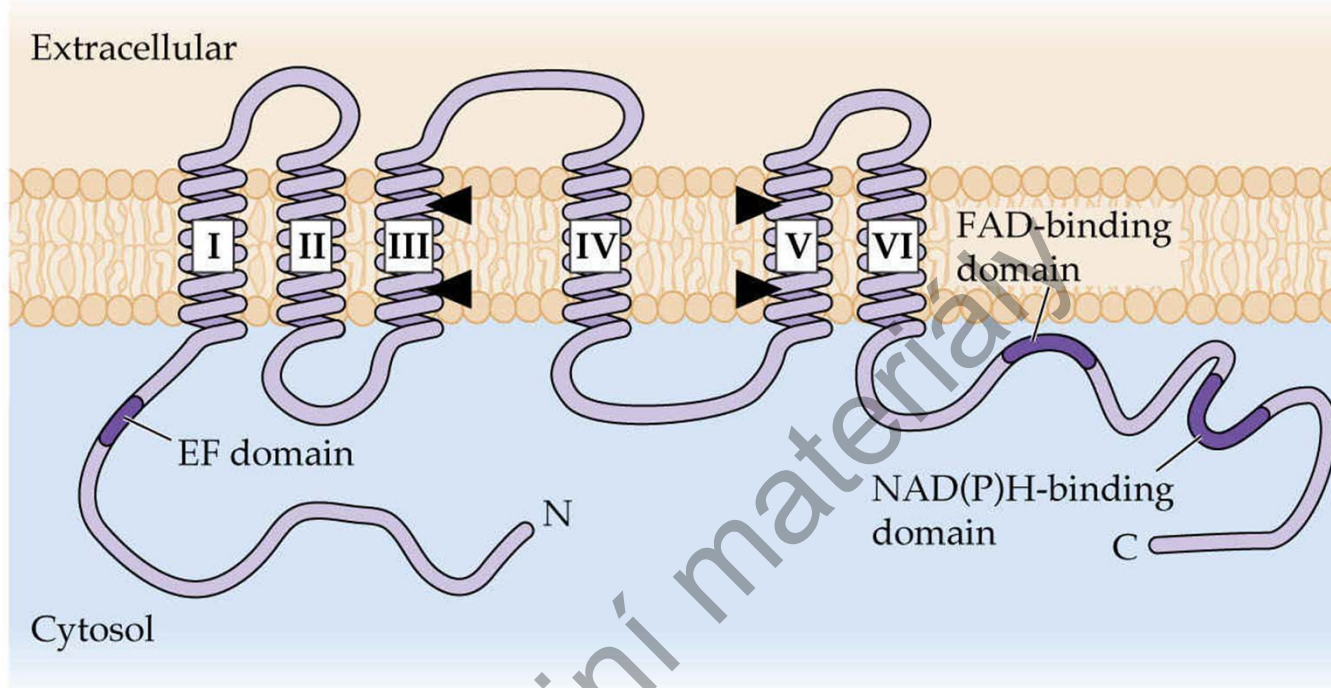
Schématický diagram struktury rostlinných receptorů (produkty genů rezistence) v srovnání s receptory živočichů



Možné mechanismy interakce Avr9 s receptorem resistance Cf9.
Avr9 interaguje s receptorem přímo nebo prostřednictvím vazebního proteinu. Jiná hypotéza předpokládá dimerizaci receptoru s kinasami.

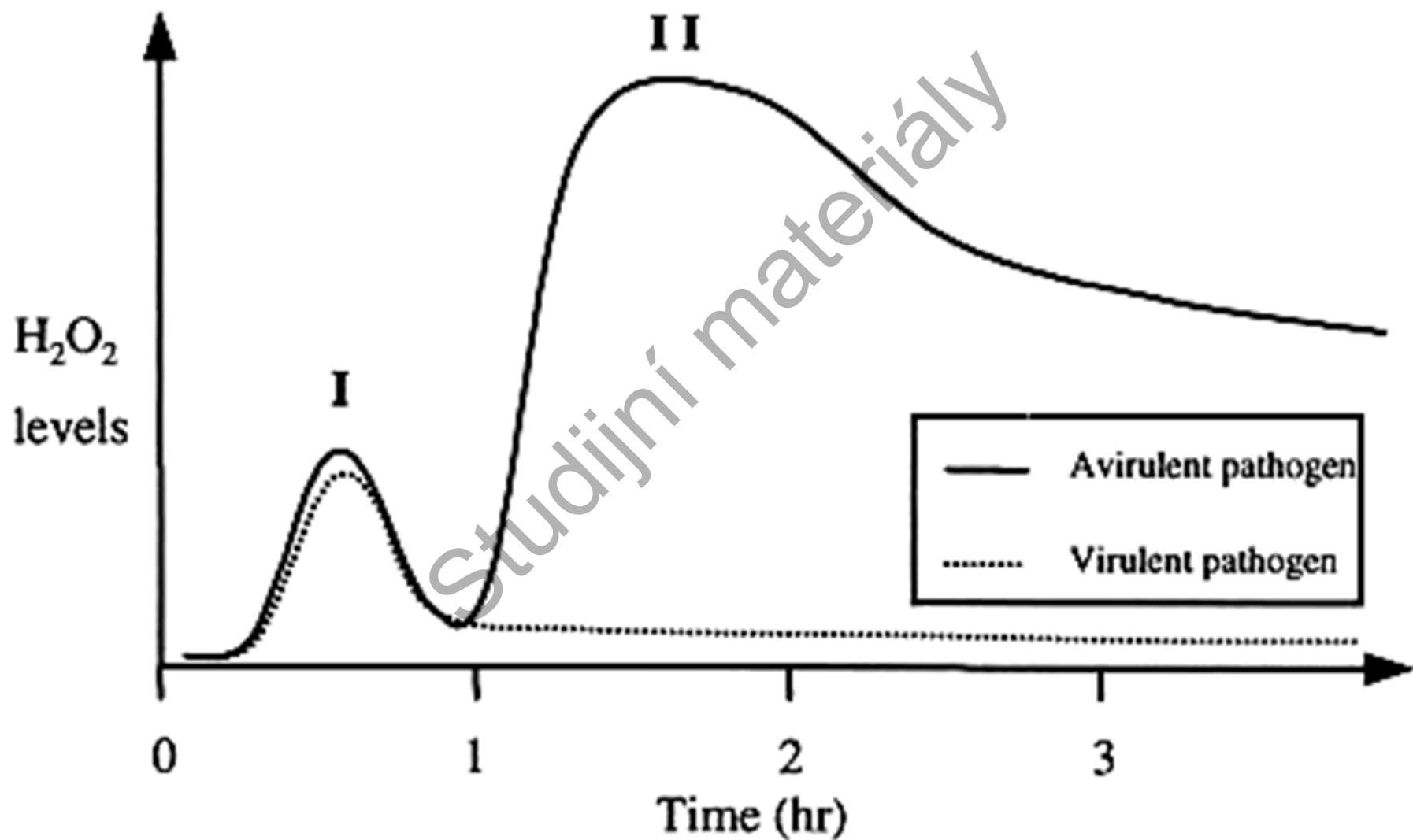


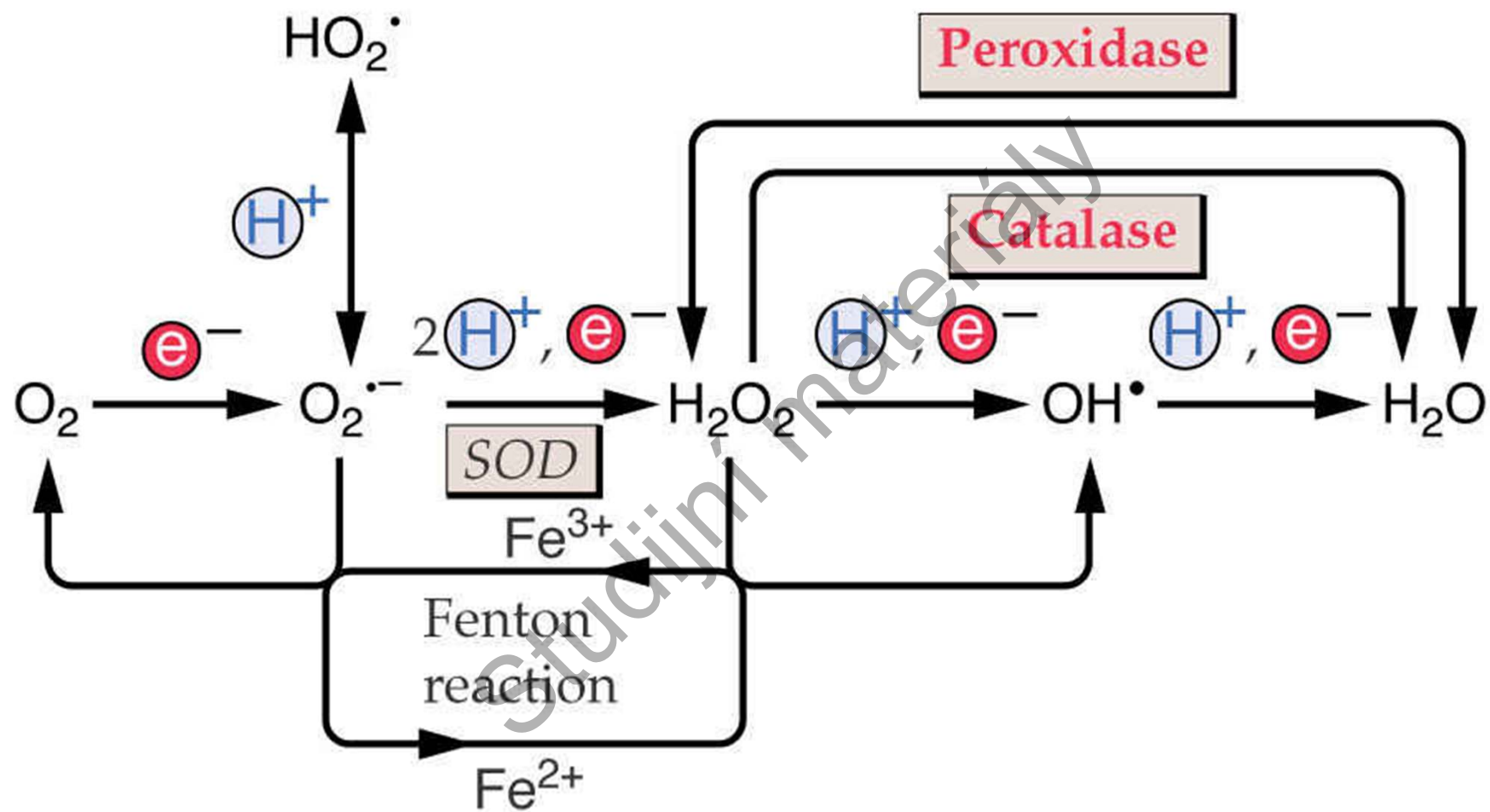




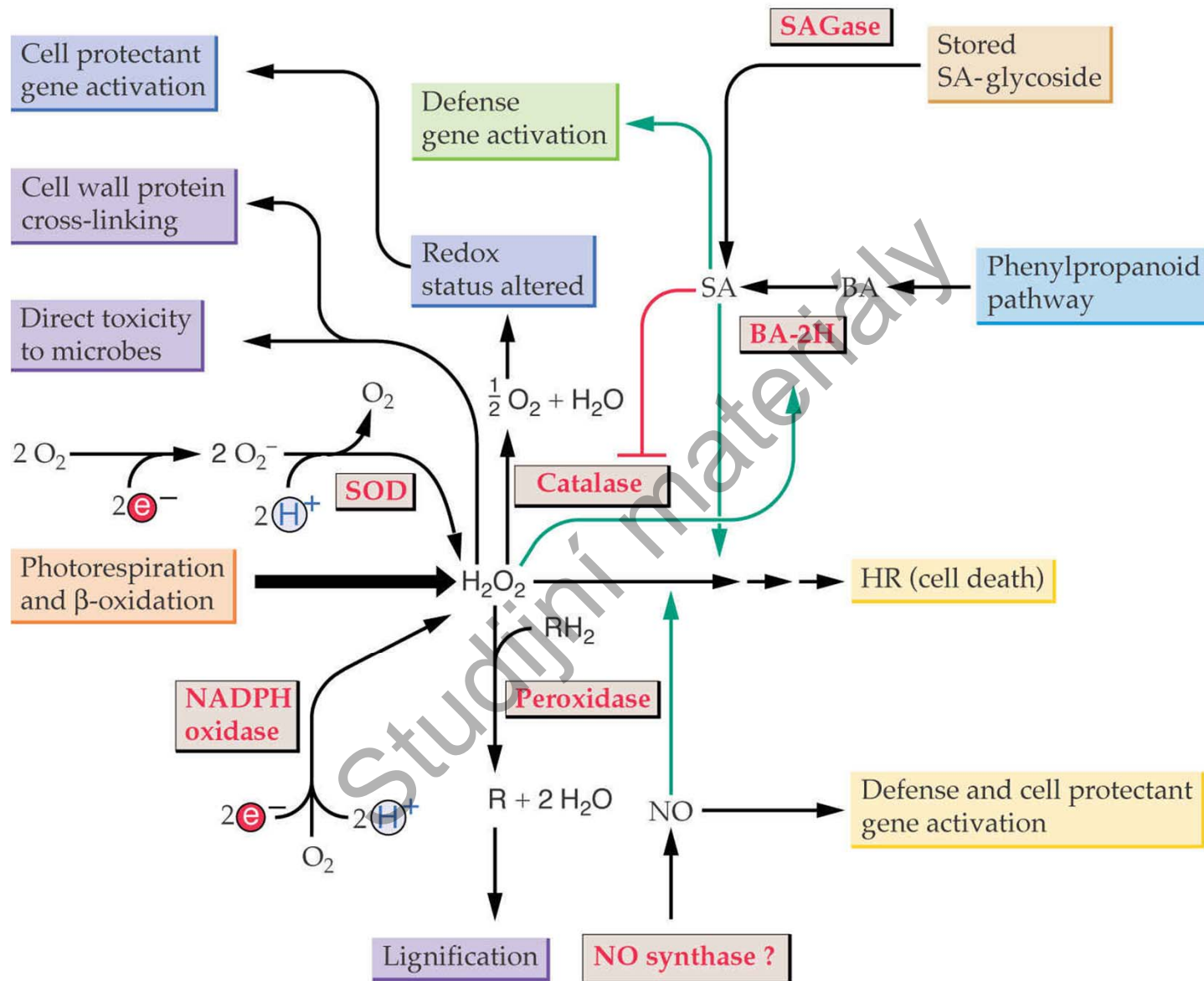
Topologie NADPH oxidasy z rostlin. 6 transmembránových domén, pravděpodobná poloha 2 hemů (trojúhelníky). EF motiv vázající vápník vedoucí k aktivaci.

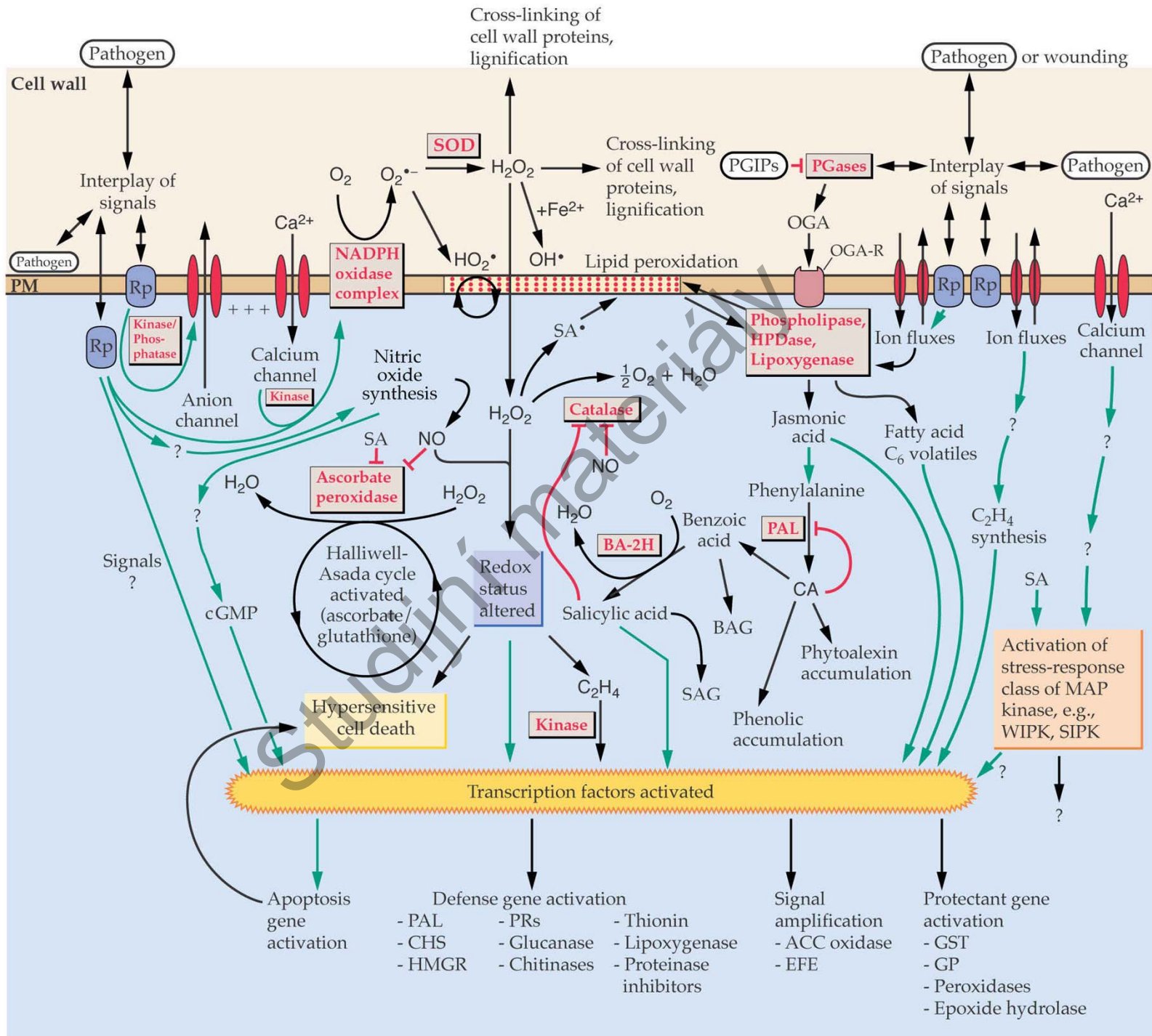
Průběh produkce H_2O_2



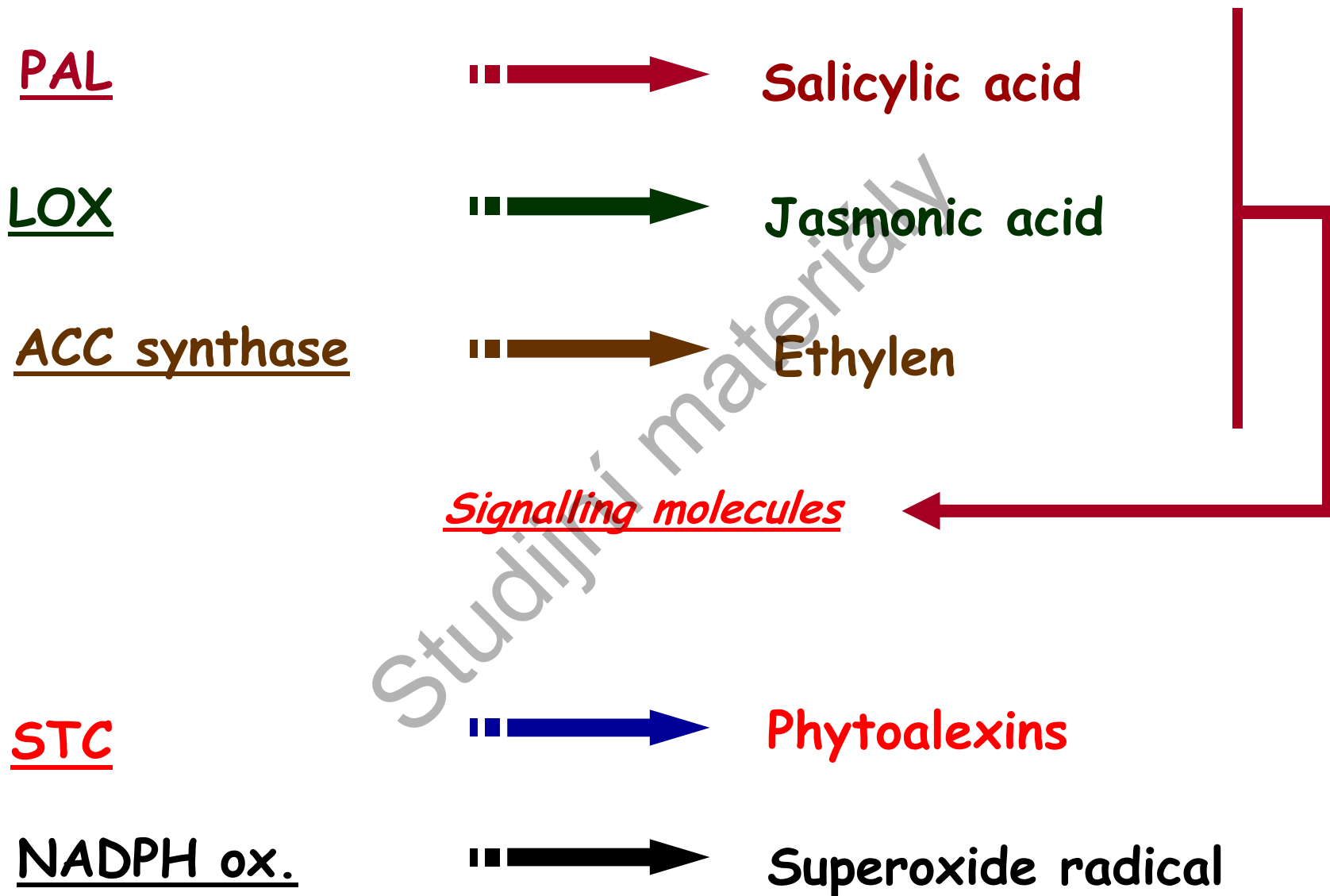


(A)

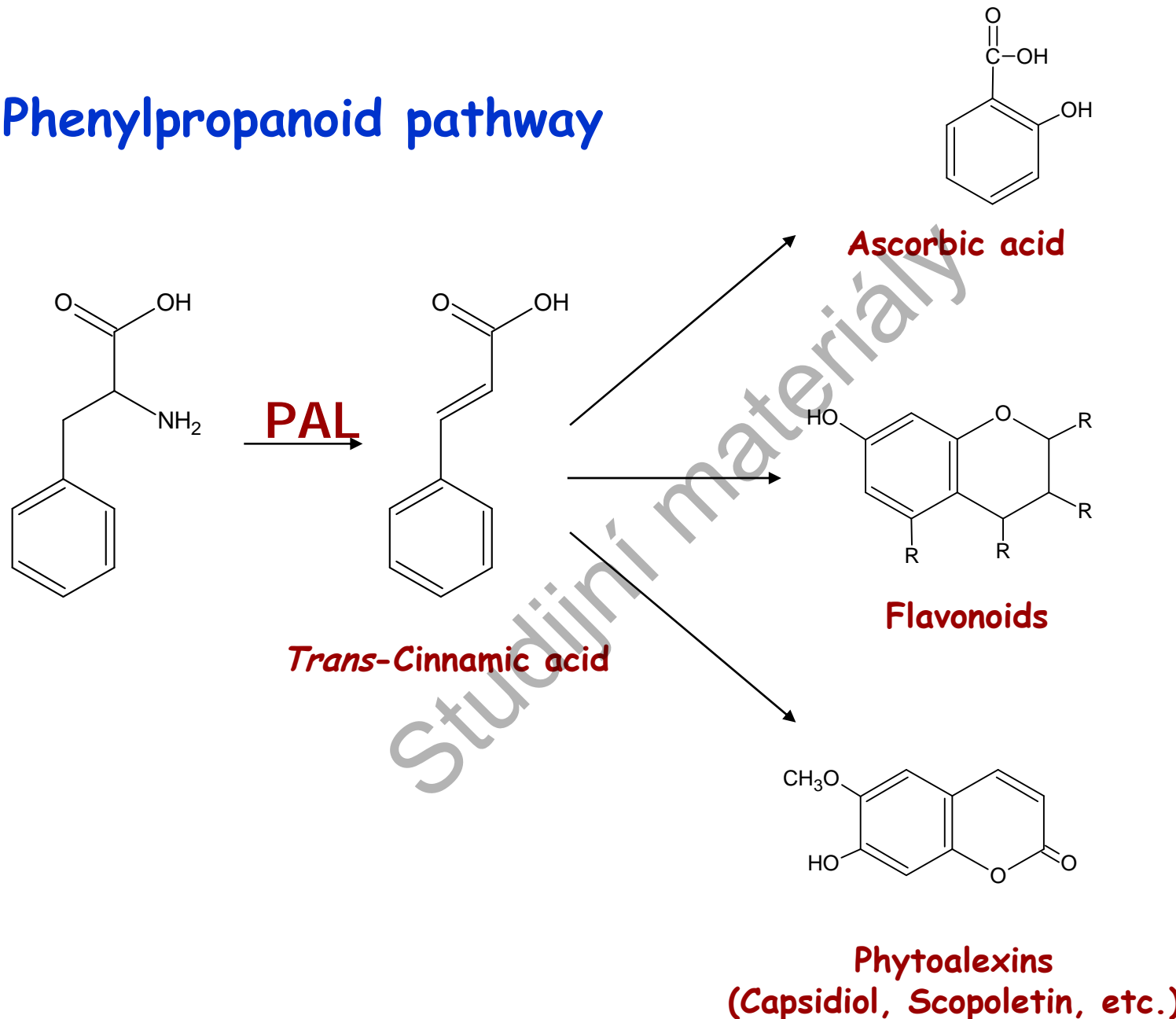


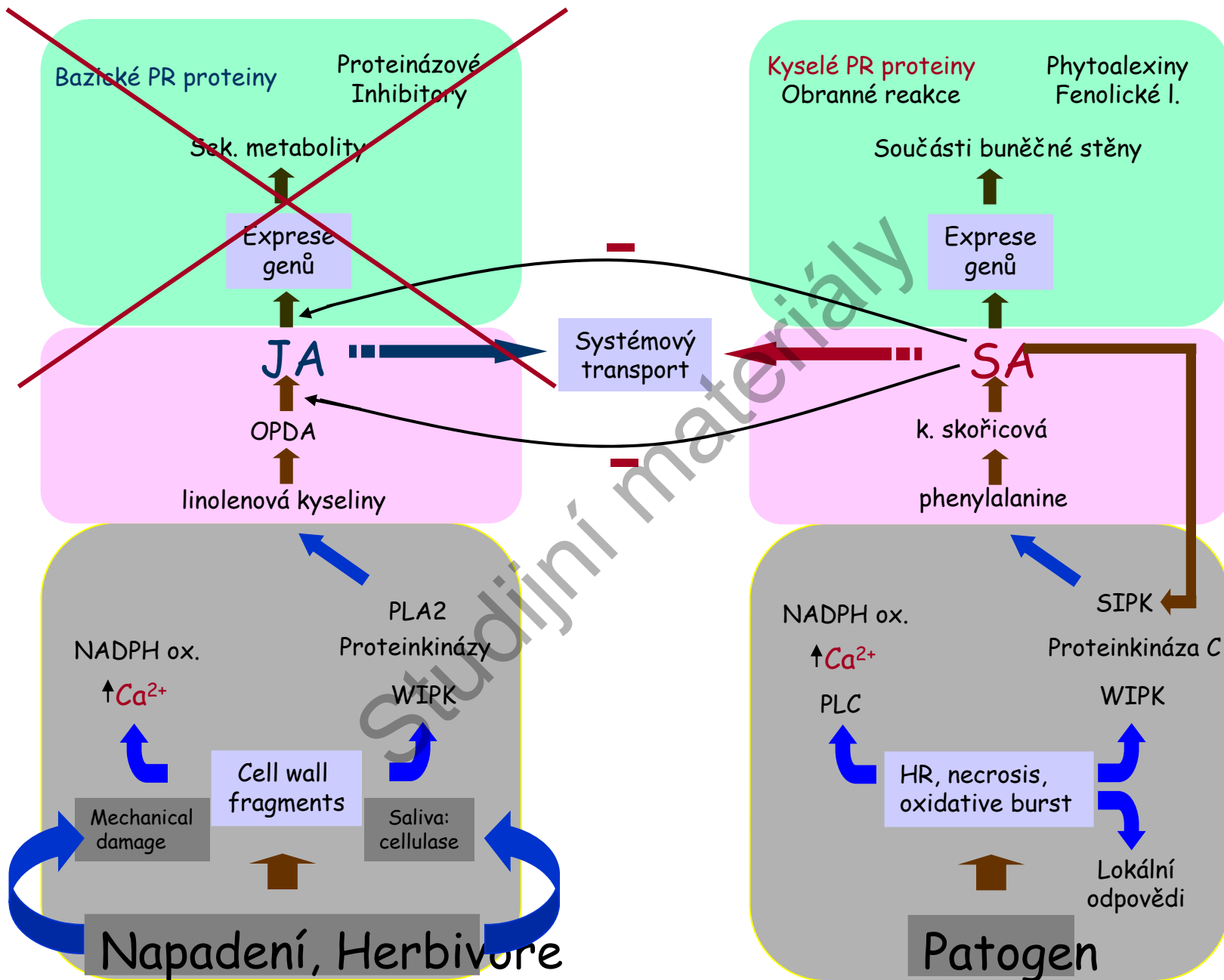


Enzymes Involved in Defense Reaction

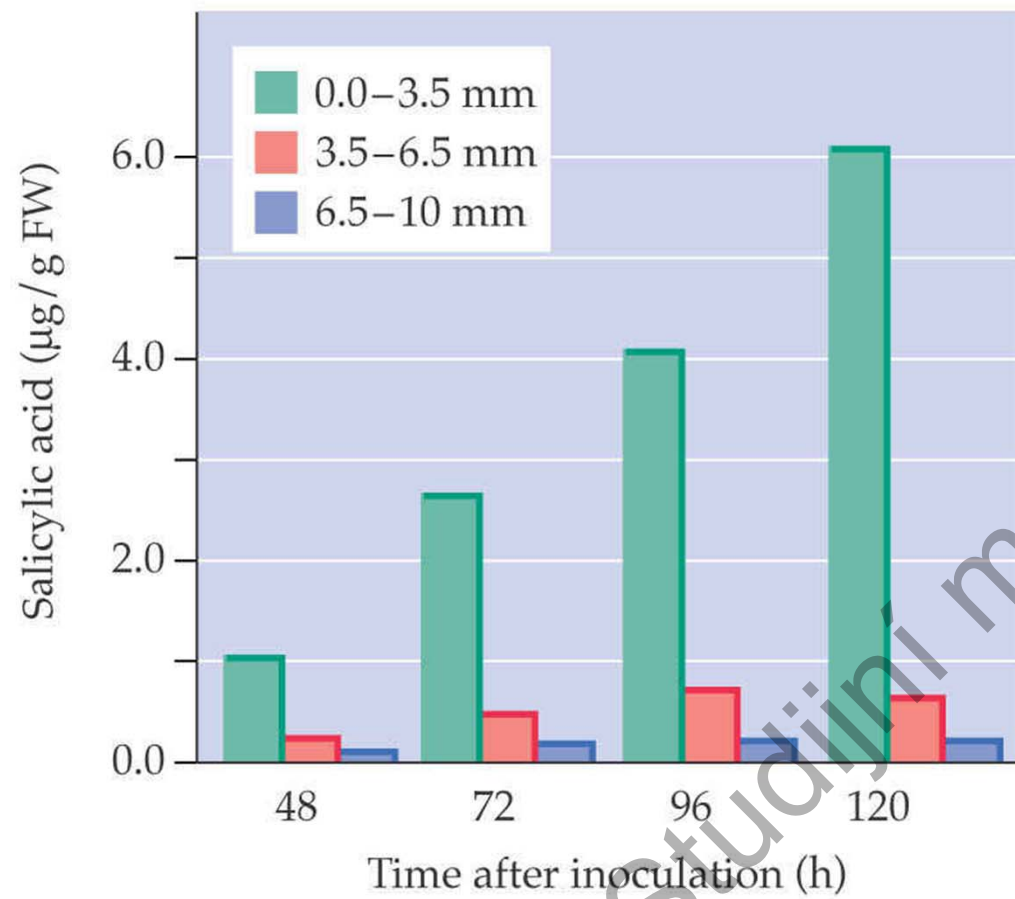


Phenylpropanoid pathway





(A)



(B)

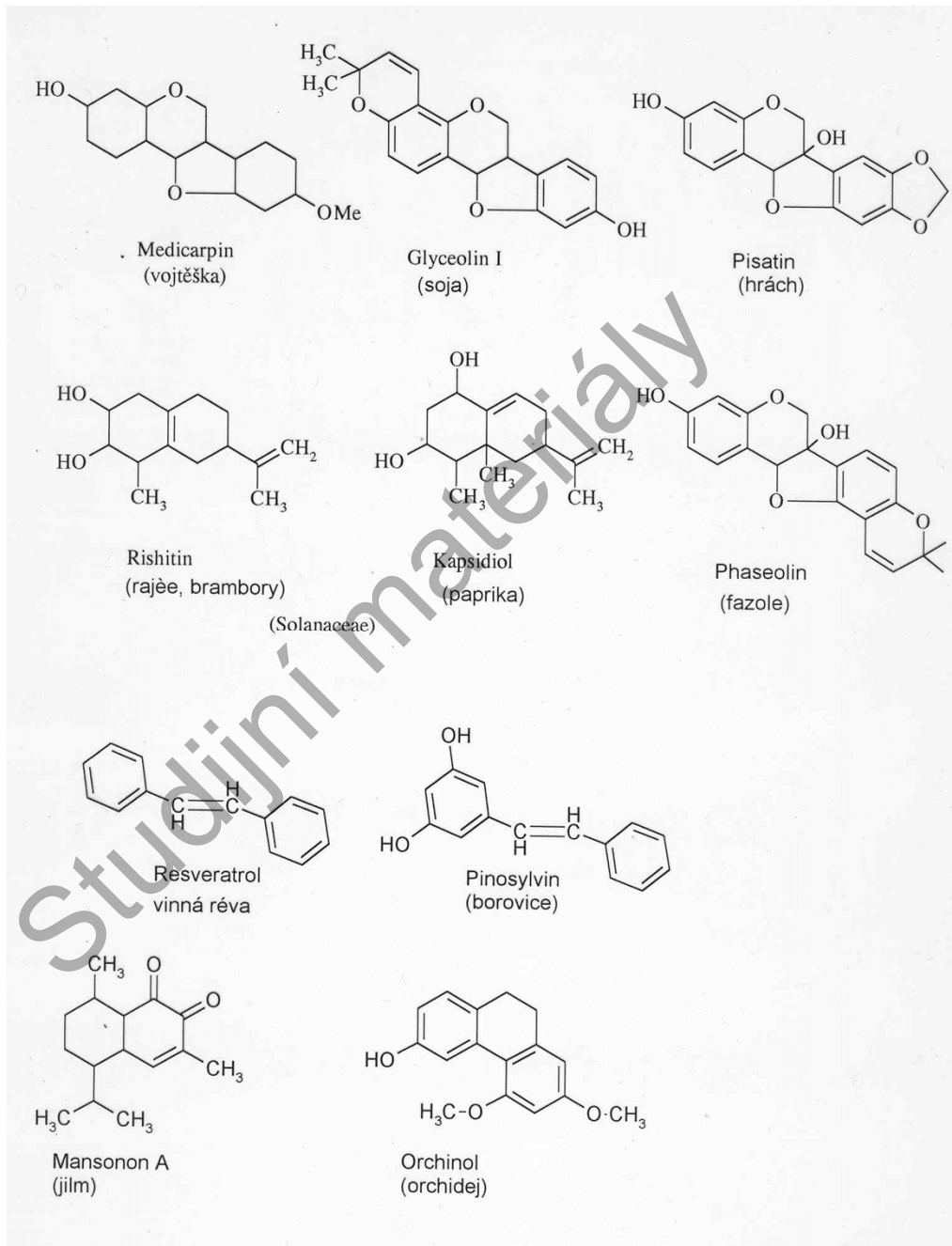


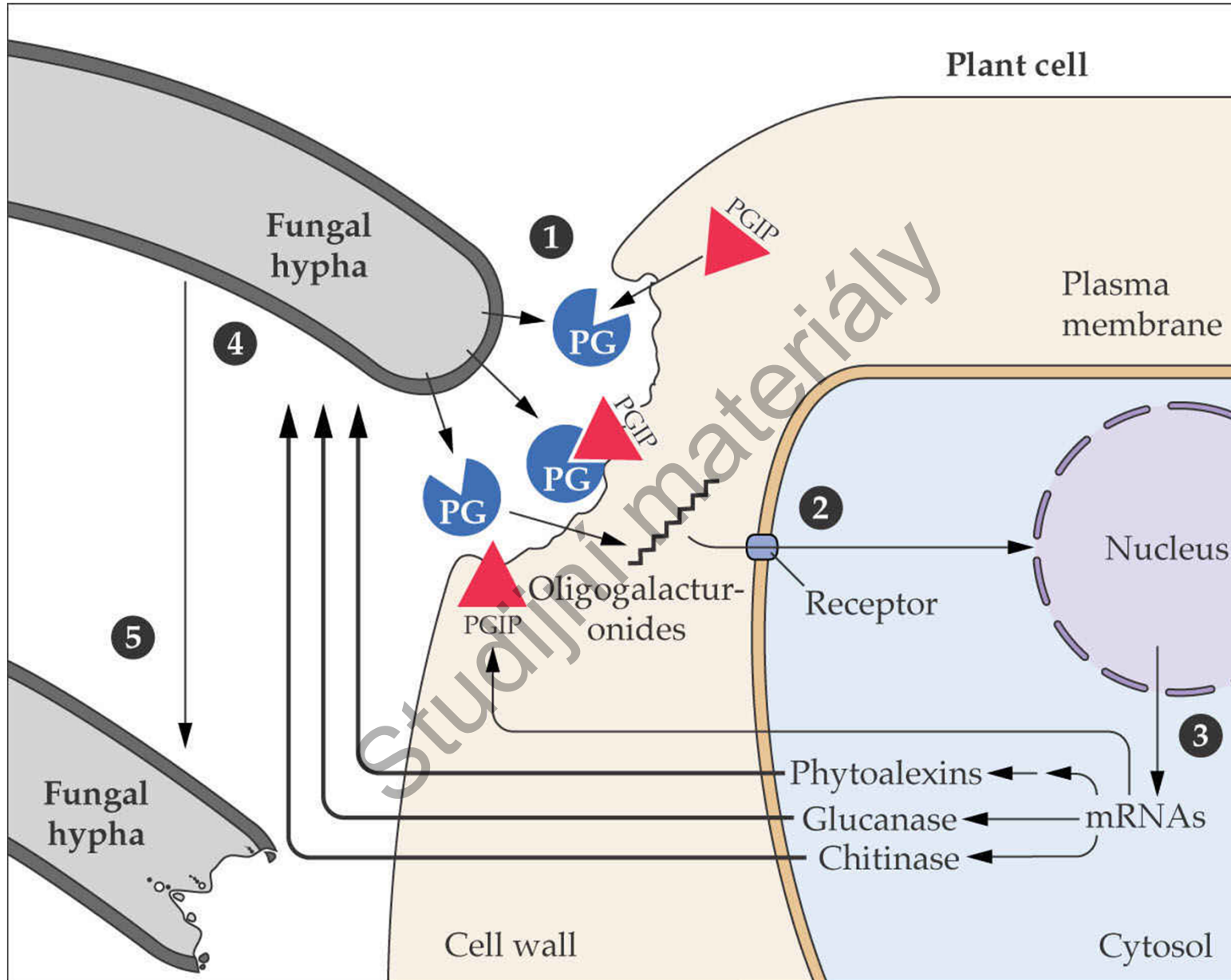
Obsah SA po napadení

PR-proteiny

Typ	vlastnosti
PR1a,b tabák	fungicidní
PR2 tabák	1-3 glukanasy
PR3 tabák	chitinasy
PR4 tabák	fungicidní
PR5 tabák	fungicidní
PR6 rajče	inhibitor proteinas
PR7 rajče	proteinasa
PR8 okurka	chitinasa
P89 tabák	peroxidasa
PR10 ječmen	typ ribonukleasy
PR11 tabák	chitinasa
PR12 defensiny	fungicidní
PR13 thioniny	fungicidní
PR14 lipid transfer prot.	fungicidní

Fytoalexiny

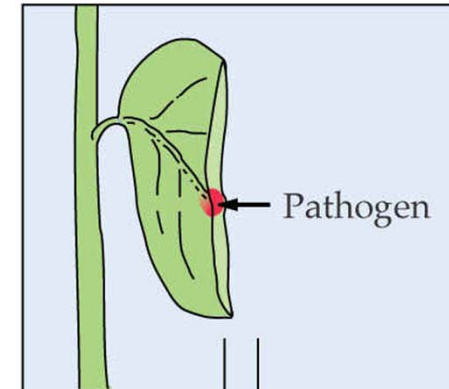




Časový sled aktivací při lokální a systémové rezistenci

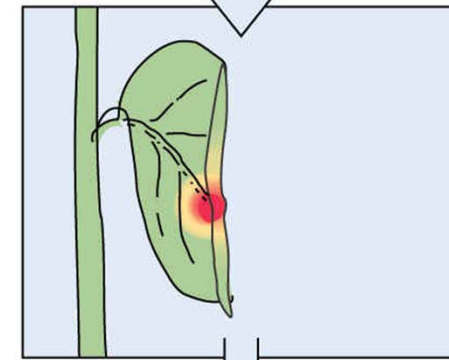
Immediate responses of invaded cells

Generation of reactive oxygen species
Nitric oxide synthesis
Opening of ion channels
Protein phosphorylation/ dephosphorylation
Cytoskeletal rearrangements
Hypersensitive cell death (HR)
Gene induction



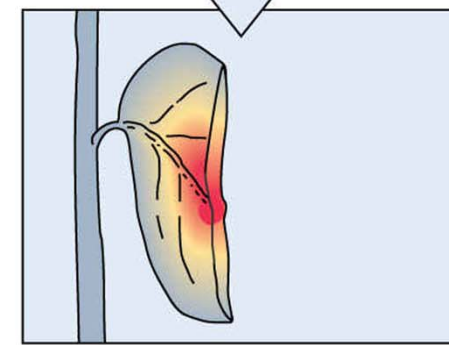
Local responses and gene activation

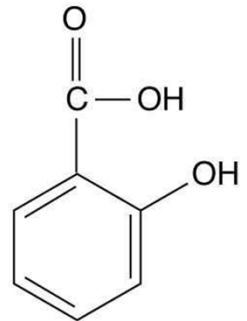
Alterations in secondary metabolic pathways
Cessation of cell cycle
Synthesis of pathogenesis-related (PR) proteins
Accumulation of benzoic and salicylic acid
Production of ethylene and jasmonic acid
Fortification of cell walls (lignin, PGIPs, HRGPs)



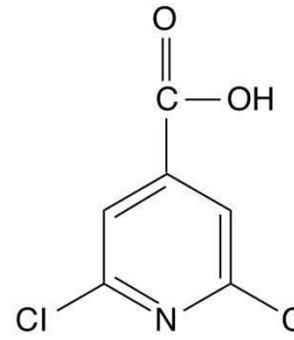
Systemic responses and gene activation

(1→3) β -Glucanases
Chitinases
Peroxidases
Synthesis of other PR proteins

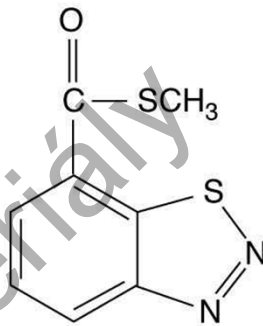




Salicylic acid
(SA)



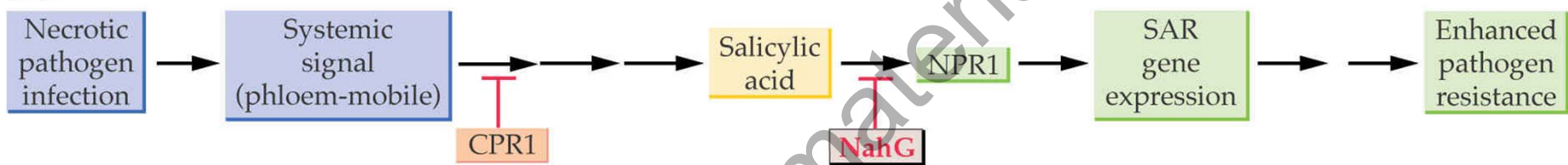
Dichloroisonicotinic acid
(INA)



Benzo-(1,2,3)-thiodiazole-
7-carbothionic acid
S-methylester
(BTH)

Syntetické látky schopné vyvolat systémovou rezistenci

(A)



(B)



